

类脑智能大作业汇报

刘翰文

2024年12月31日

饮水思源 • 24组 爱国荣校



1

基础部分

2

中级部分

3

高级部分

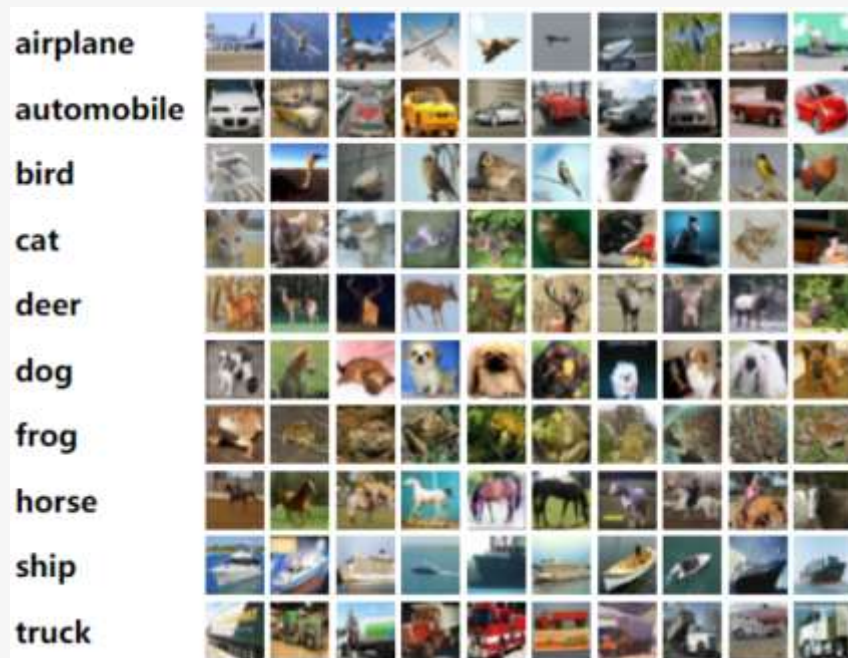
01

基础部分

使用Spiking-VGG、ResNet对CIFAR-10分类



CIFAR-10, MNIST



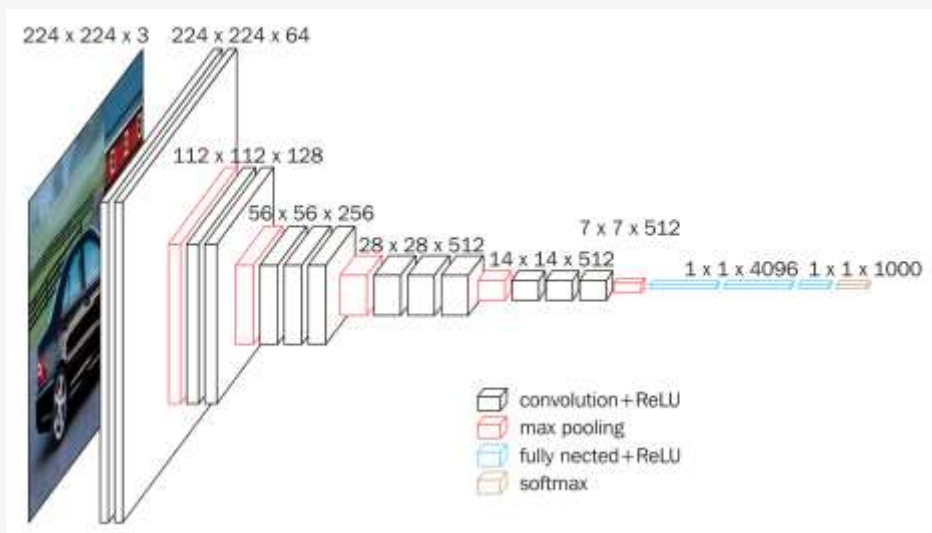
CIFAR-10



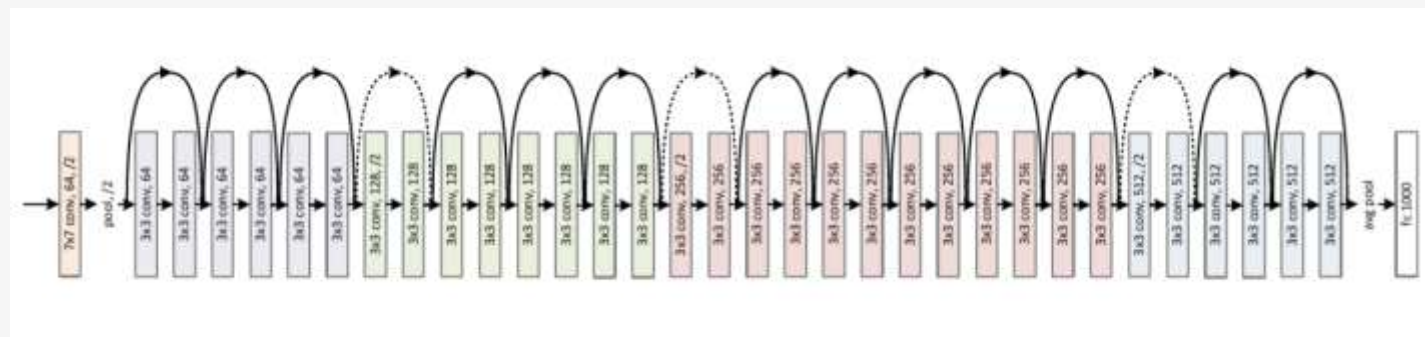
MNIST



VGG16, ResNet34



VGG16(ANN)

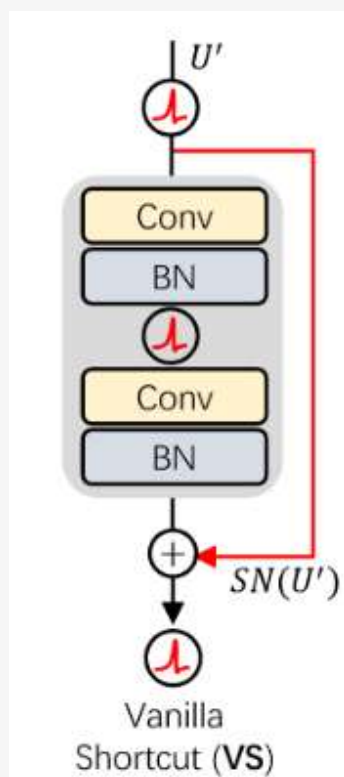


ResNet34(ANN)



Spiking VGG16: 90.18% (CIFAR-10)

Spiking ResNet34: **10.00%! (CIFAR-10)**



In Vanilla Shortcut(VS):

$$O'_A = \text{ReLU}(F(\text{ReLU}(F(U'_A))) + U'_A)$$

$$O'_S = \text{SN}(F(\text{SN}(F(U'_S))) + U'_S)$$

当 $F(\text{ReLU}(F(U'_A))) \equiv 0$, $F(\text{SN}(F(U'_S))) \equiv 0$ 时, $O'_A = \text{ReLU}(U'_A)$, $O'_S = \text{SN}(U'_S)$ 。

残差连接要求实现恒等映射

$$O'_A = \text{ReLU}(U'_A) = U'_A,$$

$$O'_S = \text{SN}(U'_S) \neq U'_S$$

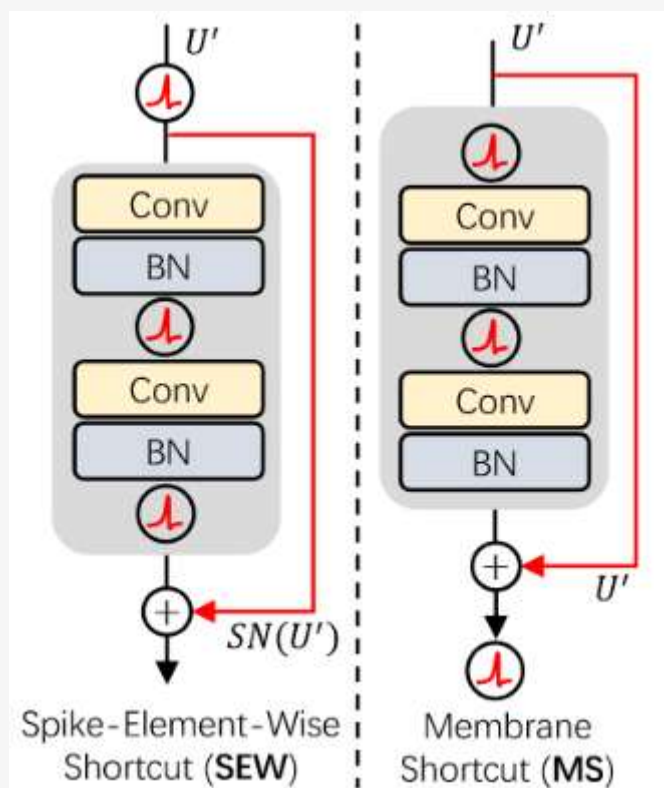
无法实现恒等映射

Any other shortcut?



🌀 Spike-Element-Wise Shortcut (SEW)

🌀 Membrane Shortcut (MS)



$$O' = SN(F(SN(F(U')))) + U'$$

$$O' = F(SN(F(SN(U')))) + U'$$

$$SN\left(F\left(SN(F(U'))\right)\right) \equiv 0, F\left(SN\left(F(SN(U'))\right)\right) \equiv 0 \text{ 时, } O' = U'$$

实现了恒等映射



On CIFAR-10

网络架构	模型参数 (M)	FLOPs(M)	能耗 (μJ)	时间步长	准确率 (%)
VGG-16	14.79	317.0	64.70	6	90.18
SEW-ResNet-34	0.47	72.5	14.80	6	89.03
MS-ResNet-34	0.47	72.5	8.30	6	82.39

On MNIST

网络架构	模型参数 (M)	FLOPs(M)	能耗 (μJ)	时间步长	准确率 (%)
VGG-16	14.79	315.8	64.63	6	99.03
SEW-ResNet-34	0.46	72.2	14.97	6	99.18
MS-ResNet-34	0.46	72.2	8.61	6	99.13



02

中级部分

基于脉冲序列相似性的分布外泛化算法



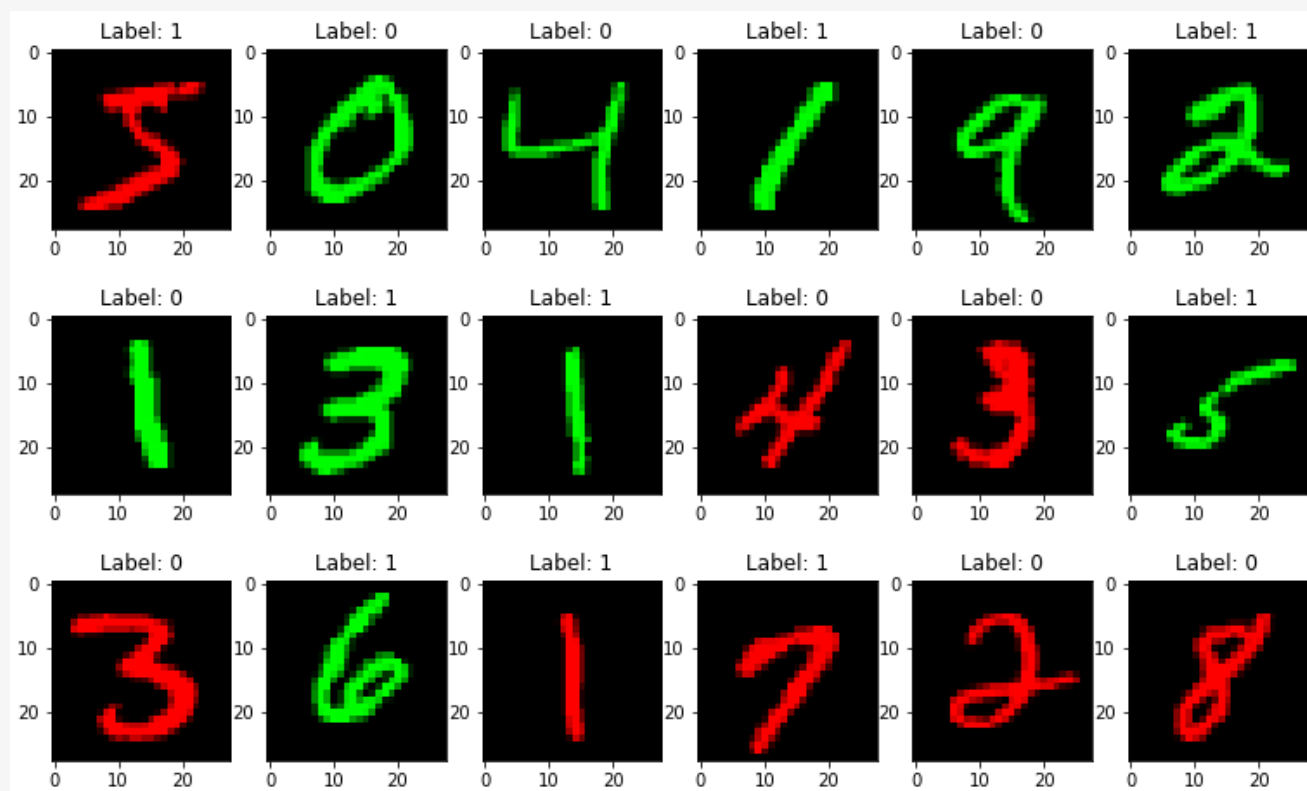
模型在与训练集环境不同的测试集环境中的表现





Colored MNIST

Train1: 10%翻转, Train2: 20%翻转, Test: 90%翻转





余弦序列相似度

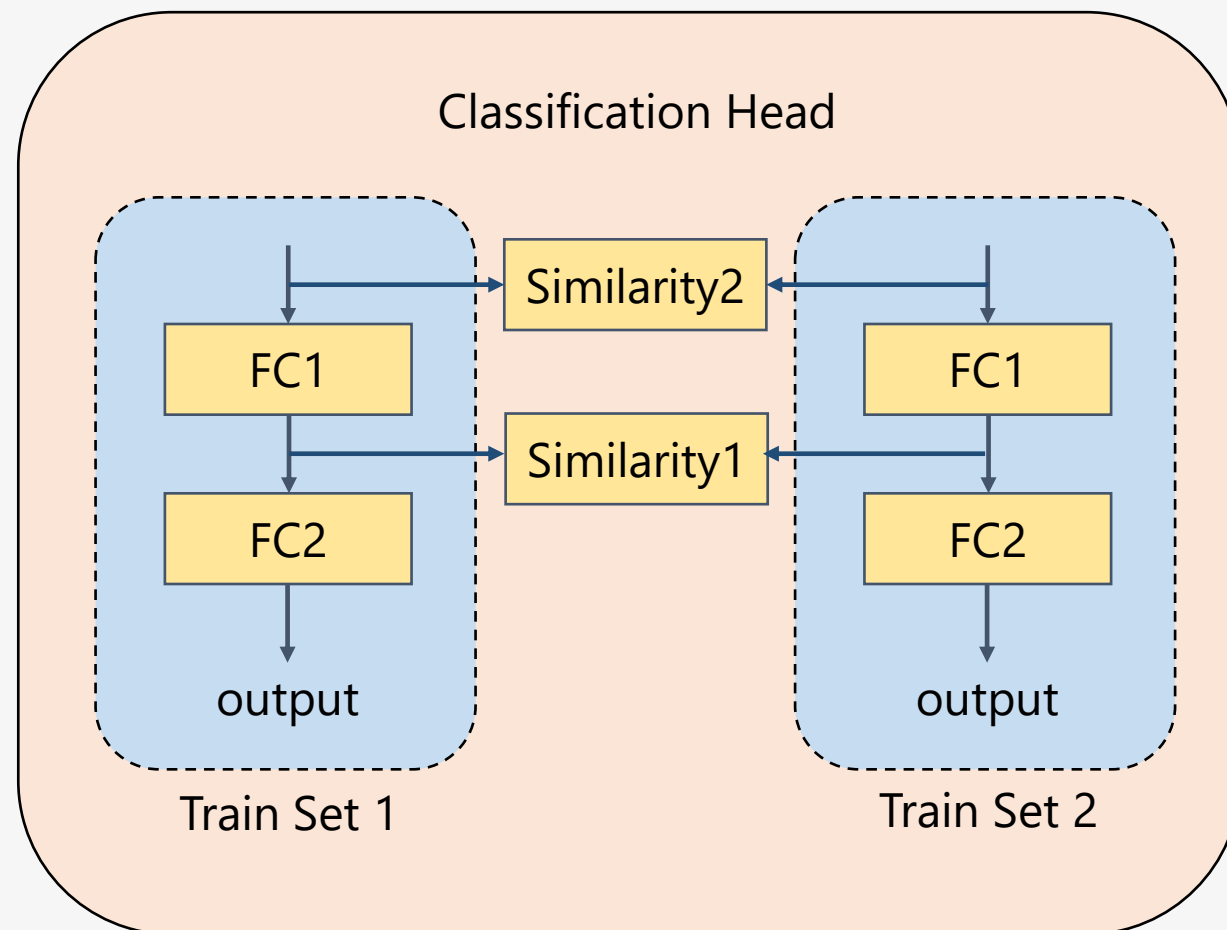
$$\text{Similarity}(A, B) = \frac{A \cdot B}{\|A\| \times \|B\|} = \frac{\sum_{i=1}^n (A_i \times B_i)}{\sqrt{\sum_{i=1}^n A_i^2} \times \sqrt{\sum_{i=1}^n B_i^2}}$$

训练损失

$$\mathcal{L}_{total} = \mathcal{L}_{crossentropy} + \lambda \cdot \mathcal{L}_{similarity}$$

$$\mathcal{L}_{similarity} = 1 - \text{Similarity}(O_1, O_2)$$

λ 设置：从0开始随epoch线性增长





在Colored MNIST上训练50个epochs

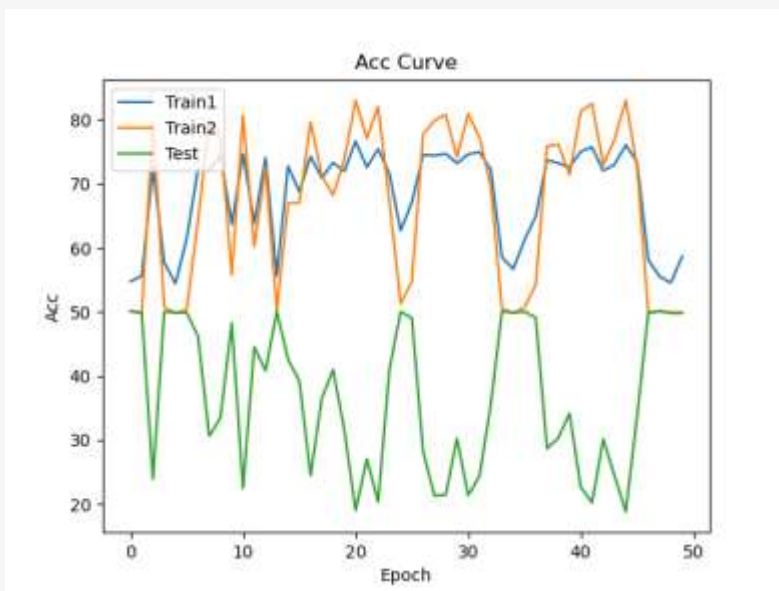
选择在训练集上平均准确率超过70%时的最高测试准确率

	Train Set 1(%)	Train Set 2(%)	Test Set(%)
None	89.1	80.1	10.2
IRM	73.2	68.1	41.2
Similarity1	75.8	65.0	42.1
Similarity2	73.4	73.2	32.5

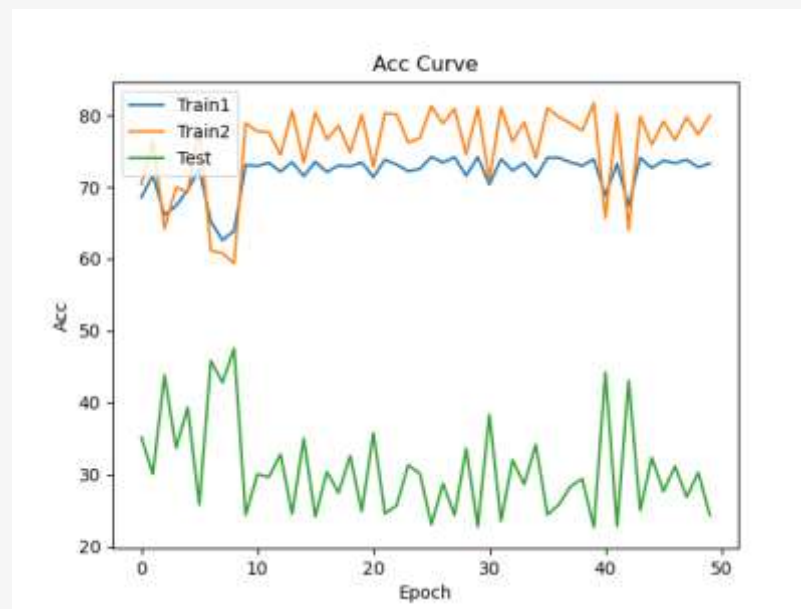


IRM: 不稳定，经常出现失败的情况，且准确率不高

Similarity: 较稳定，但准确率同样不高



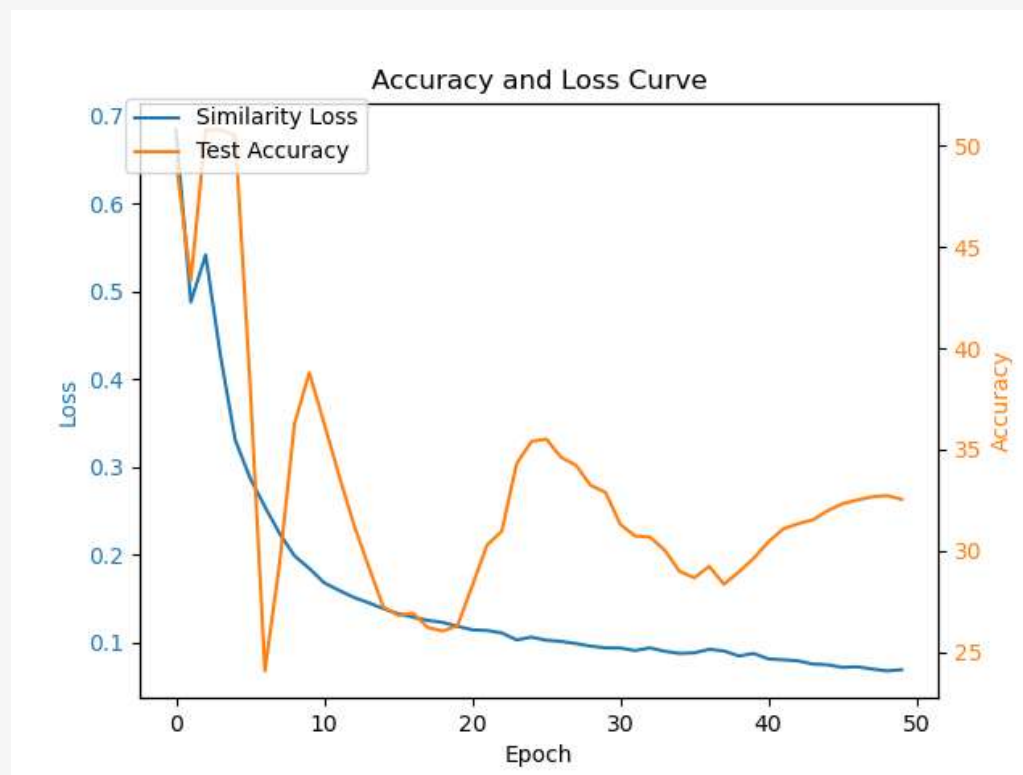
IRM训练过程



Similarity训练过程



跟踪相似性损失和测试集准确率



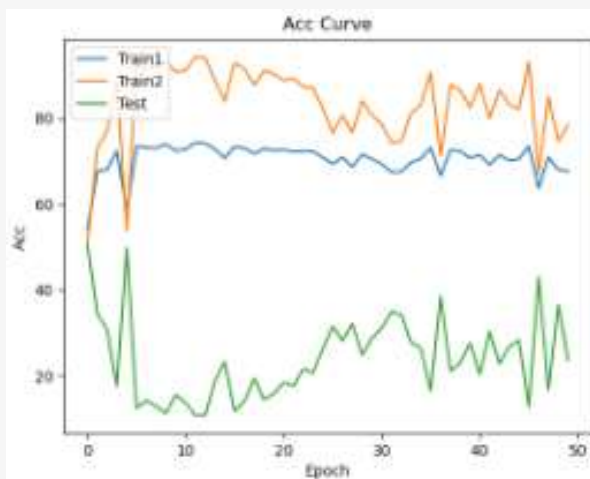


修改两个训练环境翻转的比例

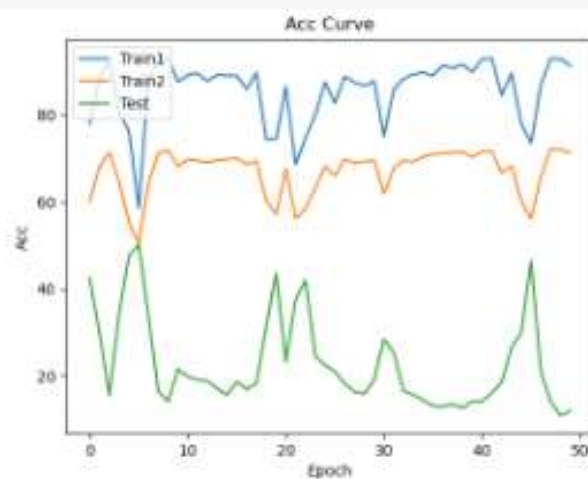
	Train Set 1 Flip(%)	Train Set 2 Flip(%)	Test Set Flip(%)
Colored MNIST	10	20	90
Colored MNIST-1	5	25	90
Colored MNIST-2	2.5	27.5	90
Colored MNIST-3	0	30	90

使用相似性算法的结果

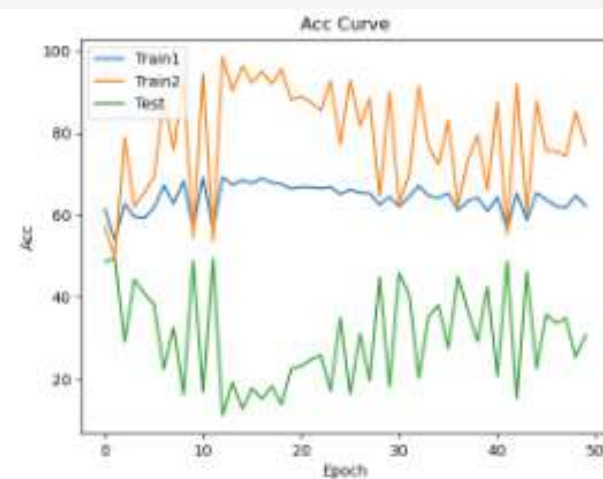
	Train Set 1(%)	Train Set 2(%)	Test Set(%)
Colored MNIST	75.8	65.0	42.1
Colored MNIST-1	75.4	67.9	35.1
Colored MNIST-2	87.2	67.9	23.7
Colored MNIST-3	77.4	64.5	33.6



(d) 5% 和 25% 结果



(e) 2.5% 和 27.5% 结果



(f) 0% 和 30% 结果

03

高级部分

Spiking GhostNet及改进



Ghost Net架构

Input	Operator	#exp	#out	SE	Stride
$224^2 \times 3$	Conv2d 3×3	-	16	-	2
$112^2 \times 16$	G-bneck	16	16	-	1
$112^2 \times 16$	G-bneck	48	24	-	2
$56^2 \times 24$	G-bneck	72	24	-	1
$56^2 \times 24$	G-bneck	72	40	1	2
$28^2 \times 40$	G-bneck	120	40	1	1
$28^2 \times 40$	G-bneck	240	80	-	2
$14^2 \times 80$	G-bneck	200	80	-	1
$14^2 \times 80$	G-bneck	184	80	-	1
$14^2 \times 80$	G-bneck	184	80	-	1
$14^2 \times 80$	G-bneck	480	112	1	1
$14^2 \times 112$	G-bneck	672	112	1	1
$14^2 \times 112$	G-bneck	672	160	1	2
$7^2 \times 160$	G-bneck	960	160	-	1
$7^2 \times 160$	G-bneck	960	160	1	1
$7^2 \times 160$	G-bneck	960	160	-	1
$7^2 \times 160$	G-bneck	960	160	1	1
$7^2 \times 160$	Conv2d 1×1	-	960	-	1
$7^2 \times 960$	AvgPool 7×7	-	-	-	-
$1^2 \times 960$	Conv2d 1×1	-	1280	-	1
$1^2 \times 1280$	FC	-	1000	-	-

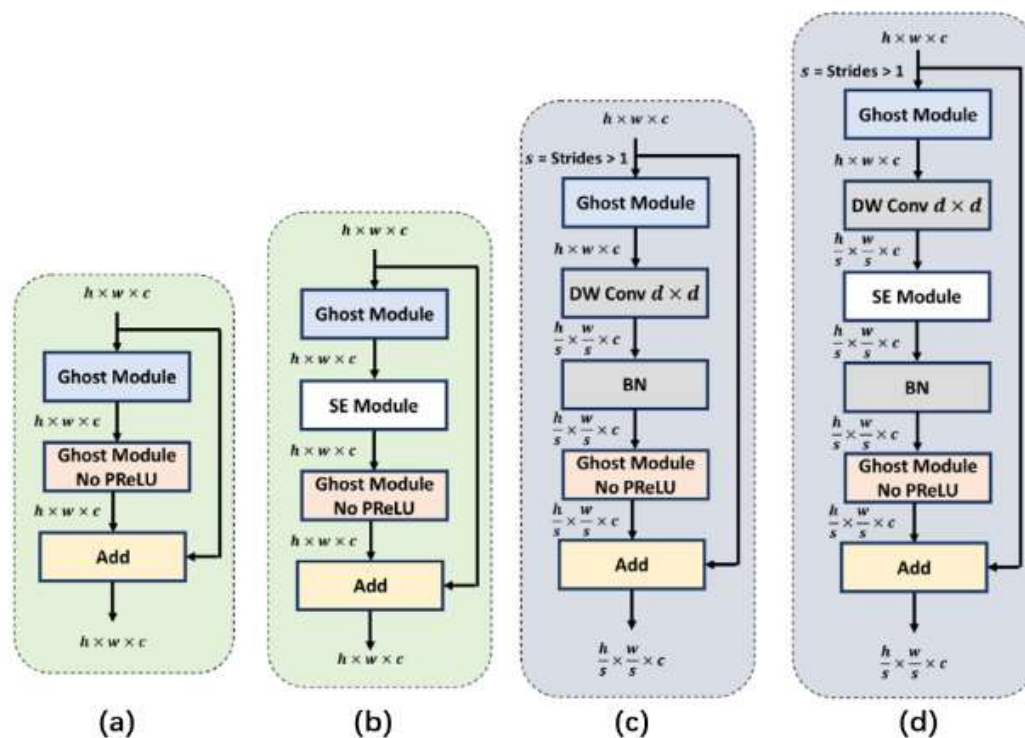


图 2: (a) 无下采样且不带 SE 模块的 Ghost bottleneck (b) 无下采样但带 SE 模块的 Ghost bottleneck (c) 带下采样和 SE 模块的 Ghost bottleneck (d) 带下采样但不带 SE 模块的 Ghost bottleneck



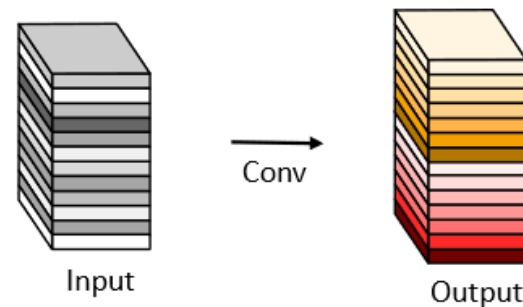
Ghost Module

目的：低计算量同时减轻特征图冗余

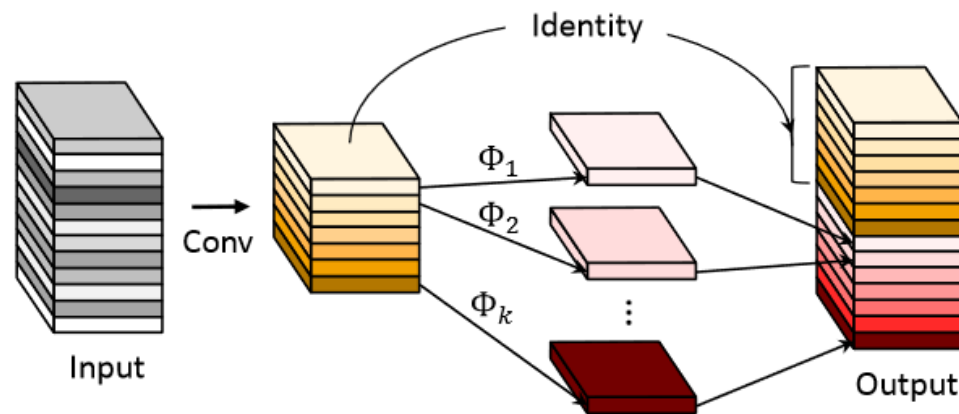
1. Primary Conv: 轻量卷积 n/m 特征图

2. Cheap Operation: $m-n/m$ 特征图

3. 特征图拼接: m 特征图



(a) The convolutional layer.



(b) The Ghost module.



🌀 Ghost Net: 低计算量

🌀 Spiking Ghost Net: 低计算量, 低能耗

🌀 结果: CIFAR-10

网络架构	模型参数 (M)	FLOPs(M)	能耗 (μJ)	时间步长	准确率 (%)
GhostNet-SNN	3.9	6.4	1.04	6	80.12

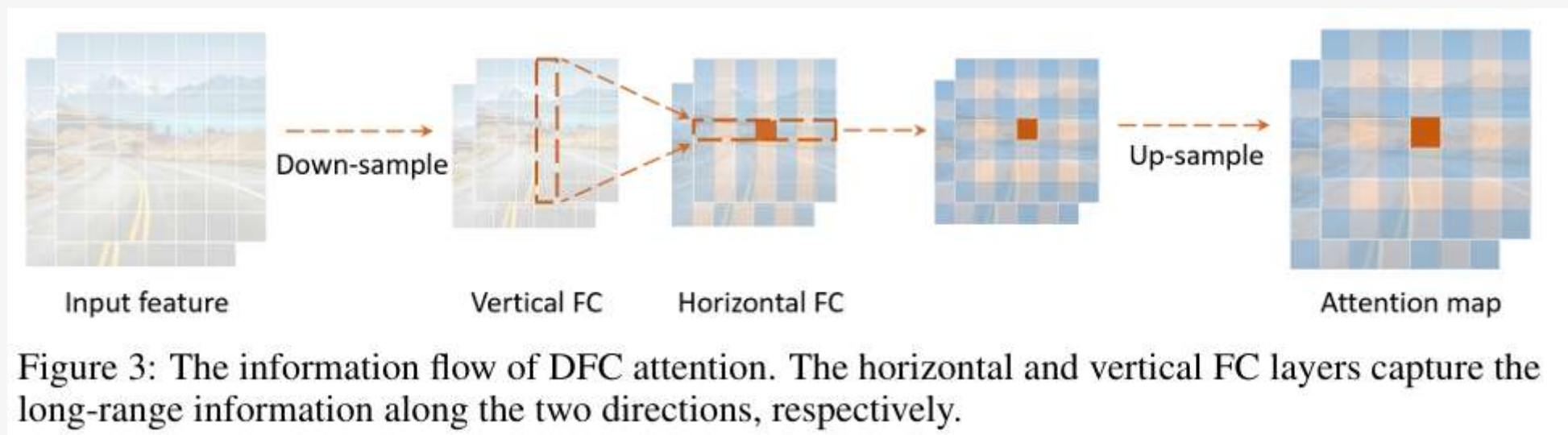
🌀 对比基础部分的网络

网络架构	模型参数 (M)	FLOPs(M)	能耗 (μJ)	时间步长	准确率 (%)
VGG-16	14.79	317.0	64.70	6	90.18
SEW-ResNet-34	0.47	72.5	14.80	6	89.03
MS-ResNet-34	0.47	72.5	8.30	6	82.39



改进一：DFC注意力(Decoupled Fully Connected Attention)

特点：简单高效易部署、低计算量

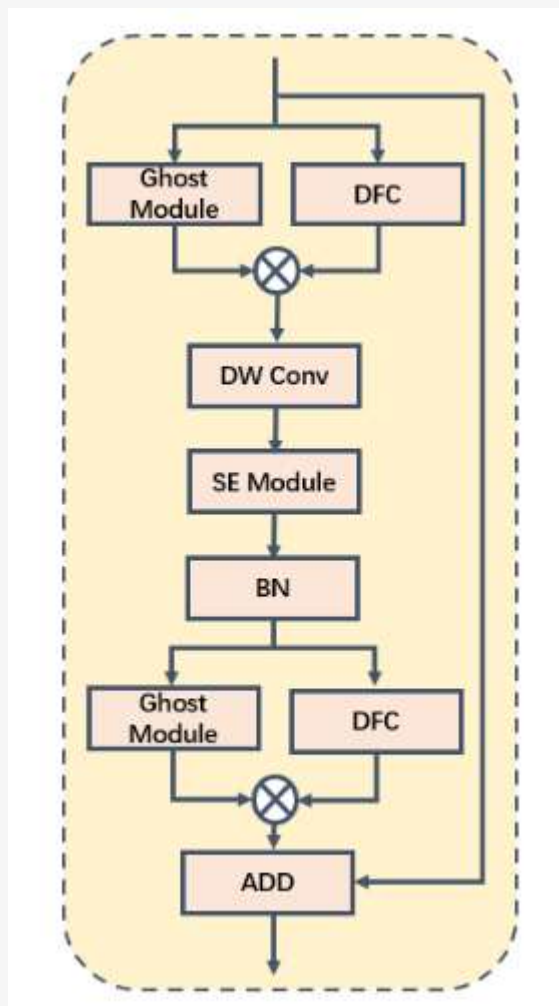




加入DFC后的Ghost bottleneck:

结果:

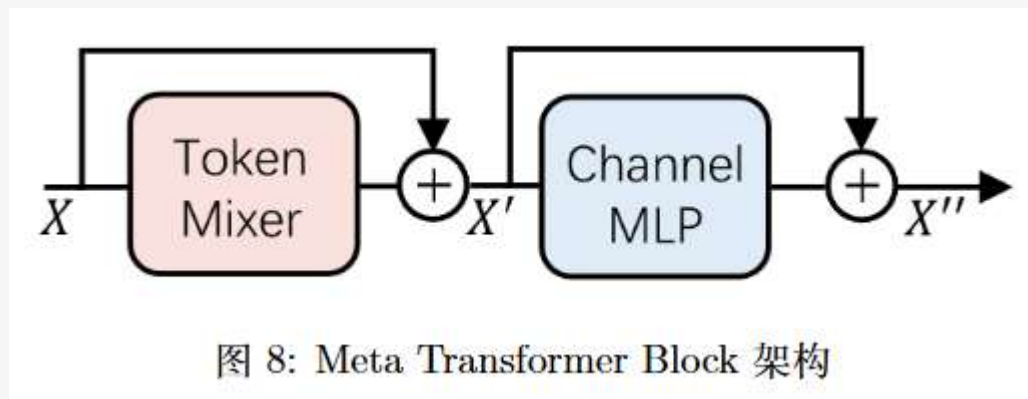
网络架构	模型参数 (M)	FLOPs(M)	能耗 (μJ)	时间步长	准确率 (%)
GhostNet-SNN	3.9	6.4	1.04	6	80.12
GhostNet-DFC	4.9	9.7	1.53	6	80.42





改进二：Channel MLP

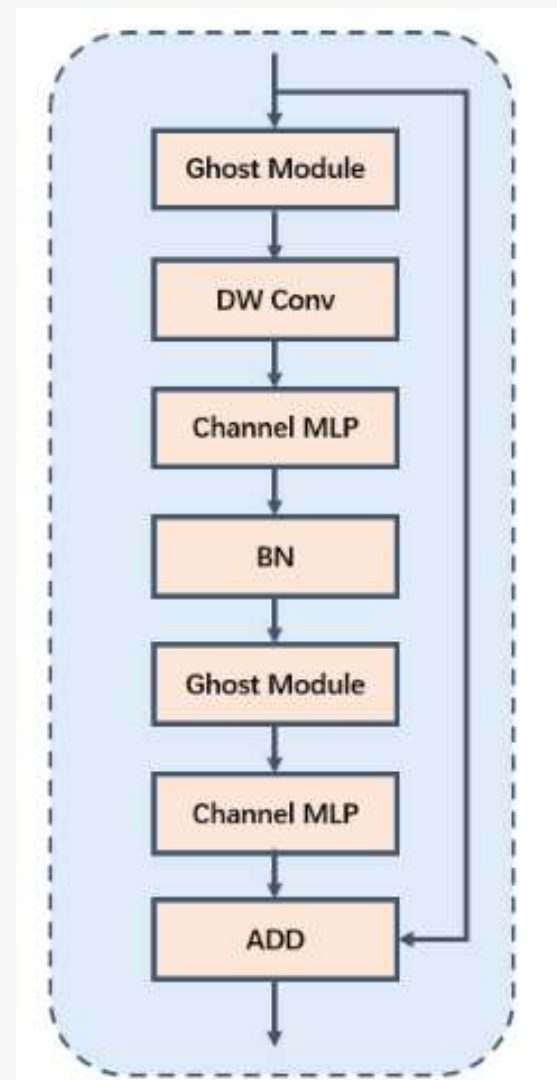
参考Meta Transformer Block



Token Mixer: Ghost Module

Channel MLP: +Channel MLP

残差：使用bottleneck的残差





整体结果:

网络架构	模型参数 (M)	FLOPs(M)	能耗 (μJ)	时间步长	准确率 (%)
GhostNet-SNN	3.9	6.4	1.04	6	80.12
GhostNet-DFC	4.9	9.7	1.53	6	80.42
GhostNet-ChannelMLP	4.7	7.1	0.96	6	81.30

表 4: GhostNet 在 CIFAR-10 上的实验结果

网络架构	模型参数 (M)	FLOPs(M)	能耗 (μJ)	时间步长	准确率 (%)
VGG-16	14.79	317.0	64.70	6	90.18
SEW-ResNet-34	0.47	72.5	14.80	6	89.03
MS-ResNet-34	0.47	72.5	8.30	6	82.39

表 1: 网络在 CIFAR-10 上的实验结果



上海交通大學

SHANGHAI JIAO TONG UNIVERSITY

Thank You

飲水思源 愛國榮校

24組